

Таким образом, рассмотрение существующих представлений о горении конденсированных систем показывает, что критерий погасания для конденсированных систем с аномальной температурной зависимостью стационарной скорости горения может быть представлен в трех видах: 1) $\Phi = \Phi_i$ (или Φ_1^*), 2) $\Phi = \Phi_2^* = \Phi_{\min}$, 3) $\Phi = \Phi_j$ (или Φ_2^*). Выбор конкретной формы условия погасания определяется условиями эксперимента. Результаты опытов по погасанию пороха Н вблизи контакта с металлом можно объяснить, предположив, например, существование правой крайней точки на кривой $\Phi(u)$. Для конденсированных систем с аномальной зависимостью $\Phi(u)$ в различных условиях эксперимента возможно как увеличение, так и уменьшение скорости горения перед погасанием. Существование правой крайней точки на кривой $\Phi(u)$ влечет за собой возможность погасания при резком подъеме и уменьшении давления. Физическим следствием существования минимального градиента температуры является погасание при встречном распространении волны горения и температурной волны, а также двух волн горения.

Поступила 3 XII 1968

ЛИТЕРАТУРА

1. Новиков С. С., Покhil П. Ф., Рязанцев Ю. С., Суханов Л. А. Исследование условий погасания пороха методом «замораживания» зоны горения. Докл. АН СССР, 1968, т. 180, № 6.
2. Новиков С. С., Рязанцев Ю. С. К теории теплового взаимодействия зоны горения с контактом порох — металл. ПМТФ, 1968, № 4.
3. Зельдович Я. Б. К теории горения порохов и взрывчатых веществ. ЖЭТФ, 1942, т. 12, № 11, 12, стр. 498.
4. Зельдович Я. Б. О скорости горения пороха при переменном давлении. ПМТФ, 1964, № 3.
5. Коротков А. И., Лейпунский О. И. Зависимость температурного коэффициента скорости горения пороха при атмосферном давлении от температуры пороха. В сб.: «Физика взрыва», Изд. АН СССР, 1953, № 2.
6. Покhil П. Ф., Недедова О. И., Марголин А. Д. Об аномальной зависимости скорости горения пороха от начальной температуры. Докл. АН СССР, 1962, т. 145, № 4.
7. Зенин А. А., Лейпунский О. И., Марголин А. Д., Недедова О. И., Покhil П. Ф. Поле температур у поверхности горящего пороха и устойчивость горения. Докл. АН СССР, 1966, т. 169, № 3.
8. Александров В. В., Конев Э. В., Михеев В. В., Хлевной С. С. К вопросу о температуре поверхности горящего нитроглицеринового пороха. Физика горения и взрыва, 1966, № 1, стр. 68.
9. Новожилов Б. В. Нестационарное горение порохов, имеющих переменную температуру поверхности. ПМТФ, 1967, № 1, стр. 54.
10. Новожилов Б. В. Критерий устойчивости стационарного режима горения пороха. ПМТФ, 1965, № 4.
11. Гостинцев Ю. А., Марголин А. Д. О нестационарном горении тонких пластин пороха. ПМТФ, 1964, № 5.
12. Марголин А. Д., Фогельзанг А. Е. О горении тетрила. Физика горения и взрыва, 1966, № 2, стр. 10.
13. Максимов Э. И., Григорьев Ю. М., Мережанов А. Г. О закономерностях в механизме горения перхлората аммония. Изв. АН СССР, Сер. хим., 1966, № 3, стр. 422.

О СТАЦИОНАРНЫХ РЕЖИМАХ РАБОТЫ ХИМИЧЕСКИХ РЕАКТОРОВ

Э. А. Чернова (Москва)

Исследуется существование, а также число возможных стационарных режимов работы проточных реакторов конечной длины с неподвижным мелкозернистым слоем катализатора. Предполагается, что эффективная скорость химической реакции выражается однозначной функцией весьма общего вида от температуры и концентрации определяющей компоненты в потоке. В п. 1 показывается, что в адиабатическом реакторе решение прямой и обратной задач по нахождению стационарных режимов всегда существует, причем для обратной оно единственно. В п. 2 устанавливаются некоторые достаточно условия единственности прямой задачи для случая равенства эффективных коэффициентов теплопроводности и диффузии. В п. 3 рассматривается простейшая диффузионная модель реактора с теплоотводом. Делается попытка определить области изменения параметров (характеризующих температуру подаваемой смеси, скорость ее подачи, теплоотвод и длину реактора), в которых существуют различные стационарные режимы, в частности, низко- и высокотемпературный, а также оба этих режима.

1. Стационарные режимы рассматриваемых адиабатических реакторов обычно [1-3] описываются следующими уравнениями (ниже в целях дальнейшего исследования в них введен неизвестный параметр γ , характеризующий температуру на выходе из слоя)

$$a \frac{d^2u}{d\xi^2} - \frac{du}{d\xi} + f \frac{(u\gamma, v\gamma)}{\gamma} = 0, \quad b \frac{d^2v}{d\xi^2} - \frac{dv}{d\xi} - f \frac{(u\gamma, v\gamma)}{\gamma} = 0 \quad (1.1)$$

$$\xi = -l, \quad u - a \frac{du}{d\xi} = 0, \quad v - b \frac{dv}{d\xi} = \frac{u_m}{\gamma} \quad (1.2)$$

$$\xi = 0, \quad u = u_m, \quad \frac{du}{d\xi} = 0, \quad \frac{dv}{d\xi} = 0 \quad (1.3)$$

$$\begin{aligned} \left(u = \frac{T - T_-}{T_0 \gamma}, \quad v = \frac{Ch}{\gamma}, \quad \xi = \frac{x - L}{\omega \tau}, \quad f(u\gamma, v\gamma) = \tau F(T, C) h, \quad \gamma = \frac{T_+ - T_-}{u_m T_0} \right) \\ \left(a = \frac{\kappa}{w^2 \tau}, \quad b = \frac{D}{w^2 \tau}, \quad \frac{1}{\tau} = F(T_-, C_-), \quad u_m = C_- h, \quad h = \frac{H}{\rho c T_0}, \quad l = \frac{L}{w \tau} \right) \end{aligned}$$

Здесь T — температура; T^c — некоторая характерная температура (например, T_-); C — концентрация определяющей компоненты в реагирующей смеси; T_- , C_- — температура и концентрация вдали перед слоем катализатора; w — скорость фильтрации; $F \geq 0$, H — эффективная скорость и тепловой эффект химической реакции; $\rho c = \text{const}$ — теплопроводность единицы объема; κ , D — эффективные коэффициенты продольной температуропроводности и диффузии; L — длина слоя катализатора; T_+ — температура на выходе из этого слоя (величина неизвестная).

Из уравнений (1.1) и условия (1.2) следует:

$$a \frac{du}{d\xi} + b \frac{dv}{d\xi} - u - v + \frac{u_m}{\gamma} = 0 \quad (1.4)$$

Из (1.4) на основании (1.3) получаем, что $v = u_m (1 - \gamma) / \gamma$ при $\xi = 0$. Поскольку $v \geq 0$, то $0 \leq \gamma \leq 1$. Если принять u за независимую переменную, $p = du / d\xi$, v и ξ — за искомые функции, а вместо второго уравнения в (1.1) взять (1.4), то задачу (1.1) — (1.3) можно представить в виде

$$\frac{dp}{du} = \frac{p\gamma - f(u\gamma, v\gamma)}{ap\gamma}, \quad \frac{dv}{du} = \frac{(u + v - ap)\gamma - u_m}{bp\gamma}, \quad \frac{d\xi}{du} = \frac{1}{p} \quad (1.5)$$

$$u = u_m, \quad p = 0, \quad v = u_m (1 - \gamma) / \gamma, \quad \xi = 0 \quad (1.6)$$

$$u = ap, \quad \xi = -l \quad (1.7)$$

Последнее условие в (1.2) автоматически выполняется, так как оно учтено в (1.6).)

Покажем, что для любой гладкой, однозначной функции $f(u\gamma, v\gamma)$, удовлетворяющей условиям

$$f = \partial f / \partial u = 0, \quad \partial f / \partial v > 0 \quad \text{при } v\gamma = 0; \quad 0 < f < \infty \quad \text{при } 0 < v\gamma < \infty \quad (0 \leq u\gamma \leq u_m) \quad (1.8)$$

(предполагается сначала, что $H > 0$)

а) обратная задача (γ задается, l определяется) для системы (1.5) — (1.7) всегда имеет единственное решение

б) прямая задача (l задается, γ определяется) всегда имеет решение, причем для полубесконечного реактора ($l = \infty$) оно единственное.

При заданном γ задача (1.5), (1.6), представляет собой задачу Коши. В точке

$$u = u_m, \quad p = 0, \quad v = v_m = u_m (1 - \gamma) / \gamma, \quad \xi = 0$$

имеется особенность (числитель и знаменатель во втором уравнении (1.5), а при $\gamma = 1$ и в первом обращаются в нуль). Если $\gamma = 1$, то эта точка особая. Из нее выходят по три интегральных кривых для p , v и ξ , две из которых дают $\xi > 0$, что противоречит условию (1.7). Остается одна пара кривых с наклонами $0 < k_1 < \infty$ и $0 < k_2 < \infty$ (на основании (1.8)), дающая вблизи $u = u_m$

$$p = k_1 (u_m - u), \quad v = k_2 (u_m - u), \quad \xi = -\infty \quad (1.9)$$

Если $0 \leq \gamma < 1$, то записываем первые два уравнения (1.5) относительно производных du / dp и dv / dp . Правые части в полученных уравнениях при $u = u_m$, $v = v_m$, $p = 0$ обращаются в нуль и не имеют особенностей. Если искать решение этих уравнений в окрестности u_m в виде рядов по p , то в результате, переходя к прежним переменным и аналогично предыдущему отбрасывая решения с $\xi > 0$, получим следую-

щие выражения для $p(u, \gamma)$, $v(u, \gamma)$ и $\xi(u, \gamma)$ вблизи $u = u_m$ (с точностью до бесконечно малых более высокого порядка)

$$\begin{aligned} p &= \sqrt{2f_m/a\gamma}(u_m - u)^{1/2}, \quad v = v_m + a/b(u_m - u) \\ \xi &= -\sqrt{2a\gamma/f_m}(u_m - u)^{1/2} \quad (f_m = f(u_m\gamma), v_m\gamma), \quad v_m = u_m(1 - \gamma)/\gamma \end{aligned} \quad (1.10)$$

Кривые p и v , будучи согласно (1.9), (1.10) положительными вблизи $u = u_m$, сохраняют этот знак при $0 \leq u < u_m$, так как иначе нашлась бы точка, где либо $p = 0$, $dp/du \geq 0$, $v > 0$, либо $v = 0$, $dv/du \geq 0$, $p \geq 0$, что противоречит (1.5). Поскольку $p > 0$, $0 < f < \infty$, то кривая $p(u, \gamma)$ обязательно дойдет до прямой $p = u/a$ (поворнуть или иметь вертикальную асимптоту, согласно (1.5), она не может) и пересечет ее только один раз, так как $-\infty < dp/du < 1/a$ согласно (1.5).

Таким образом, при любом заданном $0 \leq \gamma \leq 1$ решение задачи (1.5), (1.6) существует и дает единственное значения

$$u_0(\gamma) = ap(u_0, \gamma) \geq 0, \quad l(\gamma) = -\xi[u_0(\gamma), \gamma] = \int_{u_0}^{u_m} \frac{du}{p} \geq 0 \quad (1.11)$$

т. е. обратная задача (1.5) — (1.7) имеет единственное решение (u_0 будет значением u на входе в слой).

Отметим, что при проектировании реакторов решение обратной задачи имеет смысл, так как она дает значение длины реактора, при которой существуют режимы с заданной максимальной температурой или требуемым количеством получаемого продукта.

При $\gamma = 1$ согласно (1.9) $l = \infty$. При $\gamma \rightarrow 0$ согласно (1.10) $p \rightarrow \infty$ вблизи u_m , откуда $u_0 \rightarrow u_m$, $l = -\xi(u_0) \rightarrow 0$. Решение задачи (1.5), (1.6) непрерывно зависит от параметра γ . Поэтому при изменении γ от 0 до 1 величина l сплошь заполняет интервал $[0, \infty]$, т. е. для любого $l \geq 0$ всегда найдется хотя бы одно значение $0 \leq \gamma \leq 1$, при котором задача (1.5) — (1.7) имеет решение. Для $l = \infty$ это значение ($\gamma = 1$) будет единственным, так как если $\gamma \neq 1$, то $l < \infty$ согласно (1.10), (1.11).

Таким образом, в адиабатическом реакторе произвольной длины l всегда существует хотя бы один, а при $l = \infty$ только один стационарный режим.

В случае $H < 0$ приведенный анализ полностью сохраняется с той разницей, что

$$-\infty < f \leq 0, \quad u_m < 0, \quad u_m \leq u \leq 0, \quad v \leq 0, \quad p \leq 0 \quad (H < 0)$$

2. Как известно [4, 5], прямая задача может быть неединственной. Установим для случая $a = b$ некоторые достаточные условия ее единственности. (Другие достаточные условия, эффективные при малых a или b , были получены в [6] с помощью задачи о собственных значениях.)

Проинтегрировав (1.4) относительно $u + v$ с использованием условия (1.3), получим $v = u_m/\gamma - u$. Тогда система (1.5) — (1.7) примет вид

$$\frac{dp}{du} = \frac{p\gamma - \Phi(u\gamma)}{ap\gamma}, \quad \frac{d\xi}{du} = \frac{1}{p} \quad (2.1)$$

$$u = u_m, \quad p = 0, \quad \xi = 0; \quad u = ap, \quad \xi = -l \quad (2.2)$$

Дифференцируя (1.11) и (2.1) по γ , получаем

$$l_\gamma = \frac{dl}{d\gamma} = -\left(\frac{\partial \xi}{\partial \gamma}\right)_{u=u_0} - \left(\frac{d\xi}{du}\right)_{u=u_0} \frac{du_0}{d\gamma} = -\xi_\gamma(u_0) - \frac{ap_\gamma(u_0)\gamma}{\Phi(u_0\gamma)} \quad (2.3)$$

$$\frac{dp_\gamma}{du} = -\frac{\chi(u\gamma)}{ap\gamma^2} + \frac{\Phi(u\gamma)}{ap^2\gamma} p_\gamma, \quad \frac{d\xi_\gamma}{du} = -\frac{p_\gamma}{p^2} \quad \left(p_\gamma = \frac{\partial p}{\partial \gamma}\right) \quad (2.4)$$

$$\chi(\vartheta) = \vartheta\varphi'(\vartheta) - \varphi(\vartheta) \quad (0 \leq \vartheta \leq u_m\gamma, \quad \vartheta = u\gamma) \quad (2.5)$$

В окрестности $u = u_m$ согласно (1.10) при $0 \leq \gamma < 1$

$$p_\gamma = \left(\frac{u_m - u}{2a\Phi_m\gamma^3}\right)^{1/2} \chi(u_m\gamma), \quad \xi_\gamma = \left(\frac{a(u_m - u)}{2\Phi_m^3\gamma}\right)^{1/2} \chi(u_m\gamma) (\Phi_m = \varphi(u_m\gamma)) \quad (2.6)$$

Если $\chi(\vartheta) \leq 0$ при $0 \leq \vartheta \leq u_m\gamma$, то согласно (2.6) $p_\gamma \leq 0$, $\xi_\gamma \leq 0$ вблизи $u = u_m$ и если бы в дальнейшем эти неравенства нарушились, то нашлась бы точка u^0 , где $p_\gamma(u^0) > 0$, $dp_\gamma(u^0)/du \leq 0$ или $p_\gamma(u^0) \leq 0$, $d\xi_\gamma(u^0)/du < 0$, что противоречит

(2.4). Следовательно, если $\chi(\vartheta) \leq 0$ при $0 \leq \vartheta \leq u_m$, то $p_\gamma \leq 0$, $\xi_\gamma \leq 0$ при $0 \leq u \leq u_m$, откуда, согласно (2.3), $l_\gamma(\gamma) \geq 0$. Если $\chi(\vartheta) \leq 0$ при $0 \leq \vartheta \leq u_m$, то $l_\gamma \geq 0$ при всех $0 \leq \gamma \leq 1$, т. е. $l(\gamma)$ — функция монотонная и, следовательно, найдется единственное значение $0 \leq \gamma \leq 1$, обеспечивающее заданное $l \geq 0$.

Таким образом, если $\chi(\vartheta) \leq 0$ ($0 \leq \vartheta \leq u_m$), т. е.

$$\sup [\varphi'(\vartheta) - \varphi(\vartheta)/\vartheta] \leq 0, \quad \vartheta \in [0, u_m] \quad (2.7)$$

то решение прямой задачи (2.1), (2.2) всегда единственны, т. е. в реакторе произвольной длины l при любом a существует единственный стационарный режим.

При малых ϑ функция $\chi(\vartheta) < 0$, поэтому условие (2.7) равносильно отсутствию у $\chi(\vartheta)$ корней (действительных) нечетной кратности.

Так, например, в классическом случае, когда

$$\varphi(\vartheta) = h(u_m - \vartheta) \exp[\vartheta / (1 + b_0\vartheta)] \quad (b_0 = RT_- / E, \quad T^0 = RT_-^2 / E) \quad (2.8)$$

корнями функции $\chi(\vartheta)$ будут

$$\vartheta = [u_m - 2b_0 \pm (u_m - 4b_0u_m - 4)^{1/2}][2(b_0^2u_m - 1)]^{-1} \quad (2.9)$$

Из (2.9) следует, что если $u_m \leq 4 / (1 - 4b_0)$, то $\chi(\vartheta)$ не имеет корней нечетной кратности, т. е. решение прямой задачи будет в данном случае единственным.

Уравнение $\chi(\vartheta) = 0$ эквивалентно относительно ϑ системе $\varphi(\vartheta) = A\vartheta$, $d\varphi/d\vartheta = A$, определяющей касательные к кривой $\varphi(\vartheta)$, проходящие через начало координат, причем касание в точке перегиба отвечает корням четной кратности. Поэтому для единственности стационарных режимов достаточно отсутствие лучей из начала координат, пересекающих кривую $\varphi(\vartheta)$ более чем в одной точке. (Так для случая (2.8) имеем фиг. 1.)

Последнее можно интерпретировать так: теплоизделие в каждом сечении реактора определяется функцией $\varphi(\vartheta)$, а теплоотвод (в подаваемую смесь) грубо можно считать пропорциональным ϑ . Поэтому число возможных стационарных состояний реактора будет тогда не более максимального числа точек пересечения, которое может иметь кривая $\varphi(\vartheta)$ с лучом из начала координат.

В случае $\varphi(\vartheta) \leq 0$ условие постоянства знака у функции $\chi(\vartheta)$ при $\vartheta \in [u_m, 0]$, эквивалентно условию (2.7), и все вытекающие из него условия также будут достаточными для единственности прямой задачи (2.1), (2.2). Проведенный анализ при этом полностью сохраняется, только $u_m < 0$, $u_m \leq \vartheta \leq 0$, $p \leq 0$.

3. Рассмотрим теперь случай, когда функция $\varphi(u\gamma)$ в (2.1) может менять знак. Это имеет место, например, для реакторов с теплоотводом. К задаче (2.1), (2.2) приводит здесь отыскание стационарных режимов в случае реакции нулевого порядка (когда, например, не учитывается убывание активных веществ по длине реактора, что помогает оценить условия, при которых заведомо не будет происходить воспламенения), а также в случае подобия полей C и T (что предполагает непрерывный подвод реагентов и частичный отвод продуктов реакции через стенки). При этом используется одномерная модель, т. е. предполагается, что либо имеется идеальное поперечное перемешивание, либо теплоотвод производится непосредственно от зоны реакции [1, 2], либо производится осреднение уравнений по поперечной координате [1, 7]. Подобная задача для полубесконечной камеры ($l = \infty$) рассматривалась в [7]. В данном случае ее можно записать в виде

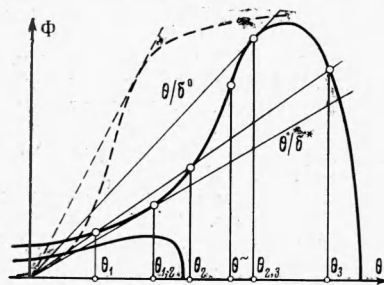
$$\frac{dp}{d\theta} = \frac{p - \psi(\theta)}{ap}, \quad \frac{d\xi}{d\theta} = \frac{1}{p}, \quad \psi(\theta) = \Phi(\theta) - \frac{\theta}{\delta} \quad (3.1)$$

$$\theta = \theta_+, p = 0, \xi = 0; \quad \theta = ap + \theta_-, \xi = -l, \quad (3.2)$$

$$(\theta = (T - T_0) / T^0, \quad \Phi(\theta) = \tau F(T) / \rho c T^0, \quad 1/\delta = aS\tau / \rho c)$$

$$\theta_+ = (T_+ - T_0) / T^0, \quad \theta_- = (T_- - T_0) / T^0, \quad T^0 = RT_c^2 / E, \quad 1/\tau = F(T_0) / \rho c T^0$$

Здесь T_0 — температура на теплоотводящей поверхности, S — площадь последней в единице объема слоя, a — эффективный коэффициент теплоотдачи, $F(T) \geq 0$ — скорость тепловыделения, R — универсальная постоянная, E — энергия активации.



Фиг. 1

Обычно, например, в случае аррениусовой зависимости скорости химической реакции от T , функция $\Phi(\theta)$ имеет вид, показанный на фиг. 1 (вид $\Phi(\theta)$ для реакции нулевого порядка нанесен пунктирной линией в сильно уменьшенном масштабе). Поэтому предположим для простоты, что

$$\begin{aligned}\Phi''(\theta) &> 0 \text{ при } \theta < \theta^*, \quad \Phi''(\theta) < 0 \text{ при } \theta > \theta^* \\ |\Phi'(\theta)| &< \infty; \quad \lim_{\theta \rightarrow \infty} \theta^{-1} \Phi(\theta) = 0\end{aligned}$$

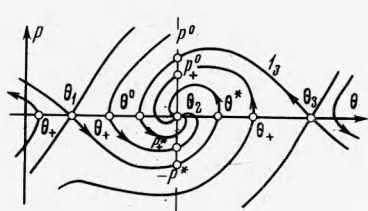
(в случае подобия T и C будет $\Phi(\theta_m) = 0, \theta < \theta_m$).

Тогда при $\delta^0 < \delta < \delta^*$ функция $\psi(\theta)$ имеет три корня $0 < \theta_1 < \theta_2 < \theta_3$ (фиг. 1), причем корни θ_1, θ_3 уменьшаются вместе с δ , а θ_2 увеличивается, и наоборот. При $\delta < \delta^0$ будет один корень θ_1 , а при $\delta > \delta^*$ — корень θ_3 . Критические значения δ^0 и δ^* и соответствующие им точки $\theta_{2,3}$ и $\theta_{1,2}$ слияния корней θ_2, θ_3 и θ_1, θ_2 определяются из уравнений

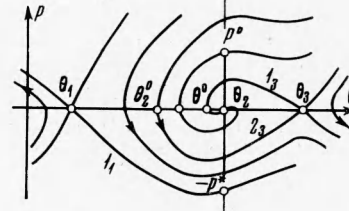
$$\psi(\theta, \delta) = 0, \quad d\psi/d\theta = 0 \quad (3.3)$$

Если (3.3) не имеет положительных корней, то у $\psi(\theta)$ при любых δ будет только один корень.

Положим, что в плоскости θp кривые идут в сторону уменьшения ξ ($d\xi = d\theta/p < 0$). Тогда всякая кривая, выходящая из точки $\theta = \theta_+$, $p = 0$ (будем обозначать ее просто θ_+) и пересекающая прямую $\theta = \theta_- + ap$ при некотором $\theta = \theta_0$, обеспечит, очевидно, решение обратной (θ_+ задано, l неизвестно) задачи (3.1), (3.2), и обратно. (θ_0 будет значением θ на входе в слой).



Фиг. 2



Фиг. 3

В верхней полуплоскости движение по кривым происходит справа налево ($p > 0$, откуда $d\theta < 0$), а в нижней — наоборот. Точки $\theta_1, \theta_2, \theta_3 (p=0)$ особые. Исследование поведения кривых в окрестности этих точек показывает [7], что θ_1 и θ_2 — седла, а θ_2 — либо узел (при $4a\psi'(\theta_2) \leq 1$), либо фокус (при $4a\psi'(\theta_2) > 1$). При этом в точку θ_2 кривые входят, и, следовательно, решений с $\theta_+ = \theta_2$ не существует (за исключением неустойчивого тривиального решения $\theta \equiv \theta_2$ при $\theta_- = \theta_2$). Из точек θ_1 и θ_3 выходит по две ветви, а из точек $\theta_+ \neq \theta_n (n = 1, 2, 3)$ — по одной ветви кривой, дающих в окрестности этих точек

$$\begin{aligned}p &= \operatorname{sign} \psi_+ \sqrt{\psi_+/a} |\theta_+ - \theta|^{1/2}, \quad \xi = -\sqrt{2a/\psi_+} |\theta_+ - \theta|^{1/2}, \quad \psi_+ = \psi(\theta_+), \quad \theta_+ \neq \theta_n \\ p &= k(\theta_+ - \theta), \quad \xi = -\infty \quad (0 < k < \infty), \quad \theta_+ = \theta_1, \theta_3\end{aligned} \quad (3.4)$$

Пусть $\delta^0 < \delta < \delta^*$, т. е. $\psi(\theta)$ имеет три корня. Тогда, как показано в [7], выходящие из θ_1 и θ_3 кривые I_1 и I_3 (фиг. 2—4) пересекают ось θ в точках θ^* и θ^0 соответственно. Возможны три случая расположения этих точек, определяющие вид поля интегральных кривых:

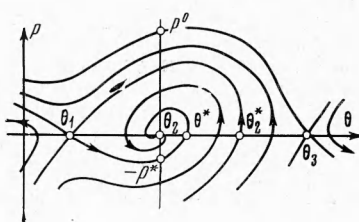
1. $\theta_2 \ll \theta^* \ll \theta_3, \theta_1 \ll \theta^0 \ll \theta_2$ (фиг. 2)
2. $\theta^* = \infty, \theta^0 > \theta_1$ (фиг. 3)
3. $\theta^* < \theta_3, \theta^0 = -\infty$ (фиг. 4)

В [7] получены приближенные оценки для значений θ^* и θ^0 , из которых следует, что случай 1 имеет место при любых a , если $Q = 0$ (что равносильно $\delta = \delta_0$), и при $a < a^*(\delta)$, если $Q \neq 0$ (a^* уменьшается с ростом Q). Если $a > a^*$, то при $Q < 0 (\delta < \delta_0)$ будет случай 2, а при $Q > 0 (\delta > \delta_0)$ — случай 3. Здесь

$$Q = \int_{\theta_1}^{\theta_3} \psi(\theta) d\theta, \quad \delta_0 = \frac{1}{2} (\theta_3^2 - \theta_1^2) \left[\int_{\theta_1}^{\theta_3} \Phi(\theta) d\theta \right]^{-1} \quad (3.5)$$

Кривая, выходящая из точки $\theta_+ < \theta_1$, аналогично левой ветви кривой, выходящей из θ_1 [7], идет все время влево в верхней полуплоскости. Поэтому, если $\theta_- \leq \theta_+$, то она всегда пересекает прямую $\theta = \theta_- + ap$ при некотором $\theta = \theta_0 < \theta_+$ (причем один раз, так как $-\infty < dp/d\theta < 1/a$, при $\theta \leq \theta_1$, $p > 0$, согласно (3.1)). Значение $\xi(\theta)$ монотонно уменьшается вдоль кривой, начиная от $\xi = 0$ при $\theta = \theta_+$. Поэтому

1) всегда найдется единственное значение длины реактора $l = -\xi(\theta_0, \theta_+) \geq 0$, при котором будет существовать режим с любыми заданными $\theta_+ \leq \theta_1$ и $\theta_- \leq \theta_+$, т.е. обратная задача (3.1), (3.2) имеет в области $\theta_+ \leq \theta_1$ единственное решение при $\theta_- \leq \theta_+$;



Фиг. 4

2) при произвольном заданном $l \leq l_+^0$ всегда найдется единственное $\theta_- \leq \theta_+$, при котором существует режим с любым заданным $\theta_+ \leq \theta_1$ (l_+^0 — длина, соответствующая здесь заданному θ_+ и $\theta_- = -E/R T_0$). Как будет видо из дальнейшего, с увеличением θ_+ величина l_+^0 увеличивается, стремясь при приближении θ_+ к θ_1 к бесконечности.

Согласно (3.4) $l = \infty$ при $\theta_+ = \theta_1$ и $l = 0$ при $\theta_+ = \theta_-$. Поскольку решение задачи будет, очевидно, непрерывно зависеть от θ_+ , то значения $l(\theta_+, \theta_-)$, соответствующие заданному $\theta_- \leq \theta_1$ при различных $\theta_+ \in [\theta_-, \theta_1]$ сплошь заполняют отрезок $[0, \infty]$.

Следовательно, для произвольно заданных $l \geq 0$ и $\theta_- \leq \theta_1$ всегда будет существовать режим с $\theta_+ \in [\theta_-, \theta_1]$. Покажем, что такой режим может быть только один. Для этого сделаем в (3.1), (3.2) следующую замену переменных:

$$u = (\theta - \theta_-)/\gamma, \quad p = p/\gamma, \quad \gamma = (\theta_+ - \theta_-)/(\theta_1 - \theta_-) \quad (0 \leq \gamma \leq 1, \theta_- \leq \theta \leq \theta_1) \quad (3.6)$$

Тогда задача (3.1), (3.2) сводится к виду (2.1), (2.2). При этом

$$\begin{aligned} \varphi(u\gamma) &= \psi(u\gamma + \theta_-) > 0, \quad u_m = \theta_1 - \theta_- \quad (0 < u < u_m) \\ \chi(\theta) &= \theta\psi'(\theta + \theta_-) + \psi(\theta + \theta_-) = \chi_0(\theta) = (\theta - \theta_-)\psi'(\theta) - \psi(\theta) \quad (\theta = u\gamma) \end{aligned} \quad (3.7)$$

Отсюда $\chi_0(\theta_-) \leq 0$, $\chi_0(\theta_1) \leq 0$ и $\chi'_0(\theta) = (\theta - \theta_-)\Phi''(\theta) \geq 0$ при $\theta_- \leq \theta \leq \theta_1$, поскольку $\theta_1 < \theta_-$.

Следовательно, $\chi_0(\theta) \leq 0$ на всем отрезке $\theta_- \leq \theta \leq \theta_1$, т.е. $\chi(\theta) \leq 0$ ($0 \leq \theta \leq u_m$), и согласно п.2 решение прямой задачи в области $\theta_+ \leq \theta_1$ при $\theta_- \leq \theta_1$ единственно.

Аналогично получаем, что как обратная, так и прямая задачи (3.1), (3.2) имеют в области $\theta_+ \in [\theta_3, \theta_-]$ единственное решение при $\theta_+ \geq \theta_3$.

Кривая $p(\theta, \theta_+)$, выходящая из точки $\theta_+ \in (\theta_1, \theta_2)$ аналогично правой ветви кривой, выходящей из θ_1 [7], идет вправо в нижнюю полуплоскость, пересекает прямую $\theta = \theta_2$ в точке $p = -p_+^*$, и так как $dp/d\theta > 1/a$ при $\theta_2 < \theta < \theta_3$, $p < 0$, то в случаях 1, 3 (фиг. 2, 4) она обеспечивает решение только для $\theta_- \in [\theta_+, \theta_2 + ap_+^*]$. При этом, как следует из фиг. 2, 4, если $p_+^* \neq 0$, то при $\theta_- > \theta_2 - ap_+^{**}$ пересечение прямой $\theta = \theta_- + ap$ происходит несколько раз (p_+^{**} — второе пересечение с прямой $\theta = \theta_2$). Иными словами, для $\theta_+ \in [\theta_1, \theta_2]$, $\theta_- \in [\theta_1, \theta_2 + ap_+^*]$ обратная задача всегда существует, причем для $\theta_- \in [\theta_2 - ap_+^{**}, \theta_2 + ap_+^*]$ единственность ее нарушается за счет решений, проходящих один или несколько раз через значение $\theta = \theta_2$. Величины θ (при θ_- , достаточно близких к θ_2) или p в них теряют монотонность, поэтому такие решения будем называть колеблющимися. Можно показать из качественных соображений, что они будут, по-видимому, неустойчивы. Решения, не проходящие через θ_2 , условимся называть монотонными.

Случай 2 (фиг. 3) отличается в этой области тем, что для $\theta_+ \in [\theta_1, \theta_2^0]$ и при $\theta_- > \theta_2 + ap_+^*$ существует одно решение, проходящее через $\theta = \theta_2$ и $\theta = \theta_3$ (колеблющееся).

Так же как и раньше, в рассматриваемой области при любом заданном $l \leq l_+^0$ всегда найдется единственное значение θ_- , при котором существует единственный монотонный режим с любым заданным значением $\theta_+ \in [\theta_1, \theta_2]$ (l_+^0 отвечает здесь заданному θ_+ и $\theta_- = \theta_2 + ap_+^*$, т.е. $l_+^0 = -\xi(\theta_2, \theta_+)$).

Аналогично предыдущему получаем, что монотонные решения прямой задачи в области $\theta_+ \in [\theta_1, \theta_2]$ существуют при $\theta_- \in [\theta_1, \theta_2]$ для произвольного l и при $\theta_- \in [\theta_2, \theta_2 + ap_+^*]$ только для $l > l_+^0$ (l_+^0 — наименьшее значение $l(\theta_+, \theta_-)$ для кривых с θ_+ из рассматриваемого интервала, пересекающих прямую $\theta = \theta_- + ap$, т.е. в данном случае, у которых $p_+^* > (\theta_2 - \theta_-)/a$).

Сделав в (3.1), (3.2) замену (3.6), придем к задаче (2.1), (2.2).

При $\theta_- \in [\theta_1, \theta_2]$ имеем

$$\chi_0(\theta_1) \geq 0, \chi_0(\theta_-) \geq 0; \chi'_0 \leq 0 \text{ при } \theta_1 < \theta < \theta_-, \text{ если } \theta_- \leq \theta^*;$$

$$\chi'_0 \leq 0 \text{ при } \theta_1 < \theta < \theta^*, \chi'_0 \geq 0 \text{ при } \theta^* < \theta < \theta_2, \text{ если } \theta_- > \theta^*$$

Поэтому если $\theta_- \leq \theta^*$ или $\theta_- > \theta^*$, но $\chi_0(\theta^*) \geq 0$, т. е. согласно (3.7) $\theta_- \leq \theta^*$ ($\theta_- > \theta^*$), где

$$\theta^* = \theta^* - \psi(\theta^*) / \psi'(\theta^*), \quad (3.8)$$

то $\chi_0(\theta) \geq 0$ ($\theta_1 \leq \theta \leq \theta_-$). Если же $\theta_- > \theta^*$, то $\chi_0(\theta)$ имеет два корня.

При $\theta_- \in [\theta_2, \theta_2 + ap^*]$ функция $\chi_0(\theta)$ (3.7) изменяется в интервале $[\theta_1, \theta_2]$, так как здесь всегда $\theta_0 \leq \theta_2$. При этом $\chi_0(\theta_1) > 0$, $\chi_0(\theta_2) \leq 0$, т. е. $\chi(\theta)$ при $\theta_1 \leq \theta \leq \theta_2$ имеет один корень.

Следовательно, согласно п. 2, если $\theta^* \geq \theta_2$ или $\theta_-^* \geq \theta_2$, то при $\theta_- \in [\theta_1, \theta_2]$, а в противном случае при $\theta_- \in [\theta_1, \theta_-^*]$ прямая задача имеет в области $\theta_+ \in [\theta_1, \theta_2]$ единственное монотонное решение.

При $\theta_- \in [\theta_-^*, \theta_2]$, если $\theta^* < \theta_-^* < \theta_2$, а также при $\theta_- \in [\theta_2, \theta_2 + ap]$, $l > l_-^*$ она имеет одно или несколько таких решений, причем из качественных соображений п. 2 следует, что в первом случае их будет не более трех, а во втором — не более двух.

Аналогичные результаты получаются для области $\theta_+ \in [\theta_2, \theta_3]$.

За неимением места здесь не приводятся приближенные оценки для p^* и p_+^* , а также для соответствующих им значений p^0 и p_+^0 в области $\theta_+ \in [\theta_2, \theta_3]$ (фиг. 2—4), которые получаются аналогично оценкам для θ^0 и θ^* [7]. Отметим только, что эти значения растут с увеличением a , размера соответствующего интервала и величины $|\psi(\theta)|$ на нем.

Если функцию $\psi(\theta)$ можно представить на рассматриваемых интервалах в виде степенных рядов, то значения p^* и p^0 получаются в виде рядов по целым степеням $(\theta_2 - \theta_1)$ и $(\theta_3 - \theta_2)$ соответственно (надлежащим выбором T^0 можно добиться, чтобы последние были меньше единицы), а p_+^* и p_+^0 в виде рядов по степеням $|\theta_2 - \theta_+|^{1/2}$.

Таким образом, окончательно для $\delta^0 < \delta < \delta^*$ имеем следующее:

При $\theta_- < (\theta_1, \theta_2 - ap^0)$, т. е. при $\theta_- < \theta_1$, если $\theta_1 < \theta_2 - ap^0$ и при $\theta_- < \theta_2 - ap^0$, если $\theta_2 - ap^0 < \theta_1$, а также при $\theta_- > (\theta_3, \theta_2 + ap^*)$ в реакторе произвольной длины l всегда существует единственный монотонный режим, причем $\theta_+ \in [\theta_-, \theta_1]$ и $\theta_+ \in [\theta_3, \theta_-]$ соответственно.

При $\theta_- \in [\theta_1, \theta_2 - ap^0]$ если $\theta_1 < \theta_2 - ap^0$, а также при $\theta_- \in [\theta_2 - ap^0, \theta_2]$, если $l < l_-^*$ существуют монотонные режимы только с $\theta_+ \in [\theta_1, \theta_-]$. Аналогично при $\theta_- \in [\theta_2 + ap^*, \theta_3]$, если $\theta_3 > \theta_2 + ap^*$ и при $\theta_- \in [\theta_2, \theta_2 + ap^*]$, если $l < l_-^*$, — режимы только с $\theta_+ \in [\theta_-, \theta_3]$. При этом, если θ_-^0 попадает в интервал между θ^* и θ_2 , то при $\theta_- \in [\theta_-^0, \theta_2]$ не исключена возможность существования нескольких (не более трех) таких режимов. В остальных случаях указанные режимы единственны.

В случае $a > a^*$ (δ) в реакторах достаточно большой длины при $\theta_- < \theta_2 - ap^0$, если $\delta_0 < \delta < \delta^*$ (фиг. 4), и при $\theta_- > \theta_2 + ap^*$, если $\delta^0 < \delta < \delta_0$ (фиг. 3), имеются еще и колеблющиеся решения с $\theta_+ \in [\theta_{*2}, \theta_3]$ и $\theta_+ \in [\theta_1, \theta_{*2}]$ соответственно (δ_0 из (3.5)). В остальных упомянутых выше случаях существуют только монотонные режимы.

При $\theta_- \in [\theta_2 - ap^0, \theta_2 + ap^*]$ для $l > l_-^*$ (l_-^* уменьшается при приближении θ_- к θ_2 , так что $l_-^* = 0$ при $\theta_- = \theta_2$) возможны одновременно монотонные режимы с $\theta_+ < (\theta_2, \theta_-)$ и с $\theta_+ > (\theta_2, \theta_-)$, а при $\theta_- = \theta_2$ еще и неустойчивый тривиальный режим $\theta \equiv \theta_2$. Причем при $\theta_- \in [\theta_2 - ap^0, \theta_2]$ режимов с $\theta_+ > \theta_2$, а при $\theta_- \in [\theta_2, \theta_2 + ap^*]$ режимов с $\theta_+ < \theta_2$ будет один или несколько (из качественных соображений не более двух). Режим же с $\theta_+ < \theta_-$ при $\theta_- \in [\theta_2 - ap^0, \theta_2]$ и с $\theta_+ > \theta_-$ при $\theta_- \in [\theta_2, \theta_2 + ap^*]$ единственный, за исключением случая, когда θ_-^0 попадает в интервал между θ^* и θ_2 , а θ_- — между θ_-^0 и θ_2 , при котором можно ожидать нескольких (из качественных соображений не более трех) указанных режимов.

Значение $\theta_- = \theta_2 + ap^*$ можно назвать здесь температурой зажигания, поскольку это максимальная температура подаваемой смеси, при которой может еще осуществляться режим с $\theta_+ < \theta_2$. При возрастании θ_- станет возможным уже только режим с $\theta_+ > \theta_2 + ap^*$. Аналогично $\theta_- = \theta_2 - ap^0$ можно назвать температурой гашения.

Наряду с монотонными решениями в рассматриваемом интервале θ при достаточно большом l могут быть еще и колеблющиеся решения с $\theta_+ \in [\theta_1, \theta_3]$, проходящие один или несколько раз через значение θ_2 . Возможность их увеличивается при приближении θ_- к θ_2 и возрастании a . Из качественных соображений следует, что эти решения будут неустойчивы и приведут к одному из монотонных режимов [7].

Пусть теперь $\delta < \delta_0$, либо $\delta > \delta^*$, либо система (3.3) не имеет решений. Тогда $\psi(\theta)$ имеет только один положительный корень θ_1 (или θ_3), и аналогично предыдущему получаем, что в реакторах произвольной длины l при любых a и θ_- существуют стационарные режимы только с θ_+ , расположенными в интервале между θ_- и θ_1 (θ_- и θ_3).

Причем при $\delta^* < \delta < \delta^0$, $\theta_- > \theta_0$ ($\delta^* = 1/\Phi'(\theta^*) < \delta^0$, а $\theta_0 > \theta^*$ из (3.8)), при $\delta > \delta^*$, $\theta_- < \theta_0$ (где $\theta_0 < \theta^*$), а когда (3.3) не имеет корней, при $\delta > \delta^*$, $\theta_- < \theta_0$ (где $\theta_0 < (\delta, \theta^*)$) возможен один или несколько (из качественных соображений до трех) указанных режимов. В остальных случаях они единственны.

Таким образом, наиболее часто используемый в химической технологии низкотемпературный режим, при котором максимальная температура θ_+ , достигаемая на выходе из слоя, не превышает θ_1 , существует в реакторах произвольной длины при $\delta \leq \delta^*$, $\theta_- \leq \theta_1$, причем $\theta_+ \in [\theta_-, \theta_1]$. Если $\delta^* < \delta < \delta^0$ и $\theta_2 - ap^0 < \theta_1$, то при $\theta_- \in [\theta_2 - ap^0, \theta_1]$ в реакторах длины $l \geq l_0$ наряду с одним низкотемпературным режимом существуют еще и высокотемпературные (из качественных соображений не более двух) режимы с $\theta_+ \in [\theta_2, \theta_3]$. В остальных случаях низкотемпературный режим единствен, если не считать колеблющихся решений с $\theta_+ \in [\theta_2^*, \theta_3]$, возможных в реакторах достаточно большой длины при $a > a^*(\delta)$, $\theta_0 < \delta < \delta^*$, где $\theta_0 > \delta^0$ из (3.5). Если система (3.3) не имеет корней, то для любого δ при $\theta_- \leq \theta_1$ существует только режим с $\theta_+ \leq \theta_1$. С ростом δ величина θ_1 монотонно увеличивается.

С уменьшением a , а также при достаточно малых l или δ область неединственности решений сокращается. Так, распространяя результаты, полученные в [6], на рассматриваемую задачу, можно утверждать, что, если

$$\Phi'(\theta^*) < 1/\delta + 1/4 \cdot 1/a \text{ или } \Phi'(\theta^*) < 1/\delta + 1/l$$

то при любой исходной температуре θ_- подаваемой смеси в реакторе существует единственный стационарный режим.

Поступила 20 VII 1967

ЛИТЕРАТУРА

- Иоффе И. И., Письмен Л. М. Инженерная химия гетерогенного катализа. М., «Химия», 1965.
- Арис Р. Анализ процессов в химических реакторах. М., «Химия», 1967.
- Бесков Е. С., Кузин В. А., Слинько М. Г. Моделирование химических процессов в неподвижном слое катализатора. Хим. пром., 1965, № 1.
- Зеленяк Т. И. О стационарных решениях смешанных задач, возникающих при изучении некоторых химических процессов. Дифференциальные уравнения, 1966, т. 2, № 2.
- Raymond L. R., Edmundson N. R. Some observation on tubular reactor stability. Can J. Chem. Engng., 1964, vol. 42, No. 4.
- Luss D., Edmundson N. R. Uniqueness of the steady state solutions for chemical reaction occurring in a catalyst particle or in a tubular reactor with axial diffusion. Chem. Engng. Sci., 1967, vol. 22, No. 3.
- Чернова Э. А. О стационарных режимах горения с учетом теплоотвода. ПМТФ, 1967, № 4.

О ПРИБЛИЖЕННОМ ОПРЕДЕЛЕНИИ ПОКАЗАТЕЛЯ УДАРНОЙ АДИАБАТЫ ПРИ ДВИЖЕНИИ В АТМОСФЕРЕ КРУПНЫХ МЕТЕОРНЫХ ТЕЛ

A. K. Станюкович

(Москва)

В данной работе описывается приближенный метод определения параметров ударной волны, образующейся при движении метеорного тела в атмосфере с большой сверхзвуковой скоростью, при помощи обычных формул газовой динамики с предварительным определением эффективного показателя адиабаты, учитывающего энергетические потери на диссоциацию и ионизацию воздуха.

Основное уравнение [1] для прямого скачка уплотнения, в предположении, что энергетические потери имеют только тепловой характер, в системе, где летящее тело поконится, имеет вид

$$E_1 - E_2 = \frac{1}{2} (p_2 + p_1) (V_1 - V_2) + Q \quad (1)$$

Здесь E_1 , V_1 , p_1 — соответственно внутренняя энергия, удельный объем и давление перед фронтом ударной волны; E_2 , V_2 , p_2 — то же за фронтом ударной волны; Q — энергетические потери на диссоциацию и ионизацию воздуха.

При больших сверхзвуковых скоростях движения можно пренебречь величинами E_1 и p_1 . Учитывая, что $E_2 = C_v T_2 = P_2 V_2 / (k - 1)$, получим уравнение вида

$$\frac{P_2 V_2}{k - 1} = \frac{P_2}{2} (V_1 - V_2) + Q \quad (2)$$

где $K = 1.41$ — показатель адиабаты для воздуха до ударной волны.